

NH3 ; 1977

NH₃

1547

12Б195. Вращение и инверсия нормального идейерированного аммиака в инертных матрицах. Abouaf-Marguin Luce, Jacob Marilyn E., Milligan Dolphus E. The rotation and inversion of normal and deuterated ammonia in inert matrices. «J. Mol. Spectrosc.», 1977, 67, № 1—3, 34—61 (англ.)

В спектральных областях проявления нормальных колебаний изучены ИК-спектры аммиака и егодейтерозамещ. в тв. Аг-, Кг- и Хе-матрицах. На основании детального исследования т-рных и кинетич. зависимостей полос поглощения, связанных с вращательной структурой колебательных переходов, сделан вывод о почти свободном вращении молекул аммиака в матрицах инертных газов. С помощью теории Девоншира получены величины барьеров вращения NH₃ в этих матрицах. Отмечено, что инверсионные расщепления нормального колебания ν_2 NH₃, NH₂D и NHD₂ несколько ниже по сравнению с газовой фазой, но вычисленные барьеры инверсии больше только на 10%. О. Г. Гаркуша

4.к: спектр

Х, 1948, N/2

1977

NH₃

NHD₂

NH₂D

Ч. К. Скеллф

Дж. Ко

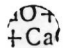
Ф, 1048, N5

5 Д413. Вращение и инверсия нормального идейированного аммиака в инертных матрицах. Abouaf-Marguin Luce, Jacob Marilyn E., Milligan Dolphus E. The Rotation and Inversion of Normal and Deuterated Ammonia in Inert Matrices. «J. Mol. Spectrosc.», 1977, 67, № 1—3, 34—61 (англ.)

Получены ИК-спектры поглощения в области 400—4000 см⁻¹ молекул NH₃, NHD₂ и NH₂D, изолированных в матрицах из Ne, Ar, Kr, Xe и N₂ при т-ре 8—40° К. Зарегистрированы полосы поглощения сложной структуры в области частот всех четырех фундаментальных колебаний аммиака. Особенно тщательно исследовано колебание v_2 (~100 см⁻¹ для NH₃). Изучена температурная зависимость интенсивностей различных компонент структуры полос поглощения. Анализ полной совокупности эксперим. данных показывает, что появление структуры обусловлено ядерной инверсией и удвоением и почти свободным вращением молекул аммиака в матрицах из благородных газов и заторможенным вращением вокруг оси C₃ в матрице из азота. Зарегистрированы

сение сдвиги частоты колебания v_2 при переходе газ-матрица (в см⁻¹): 6,2 (Ne), 18 (Ar), 16,7 (Kr) и 14,6 (Xe). Эти величины удовлетворительно описываются (за исключением Ne) ф-лой Бауэра—Мага. Для описания вращения NH₃ в кристалле благородного газа использована теория Девоншайра и найдены барьеры для вращения (в см⁻¹): 4 (Ne), 23,8 (Ar), 29,7 (Kr) и 51,5 (Xe). Измерены величины инверсионного расщепления для состояния $v_2=1, J=0$ и определены барьеры для инверсии, равные соответственно (в см⁻¹): 27 и 2242 (Ne), 26,6 и 2261 (Ar), 29,5 и 2302 (Kr), 24,8 и 2292 (Xe). Библ. 30.

Ю. М. Л.



1977

*NH₃**iii, n.**cancel p
6 incitngc*

87: 159430h The rotation and inversion of normal and deuterated ammonia in inert matrixes. Abouaf-Marguin, Luce; Jacox, Marilyn E.; Milligan, Dolphus E. (Lab. Photophys. Mol., Univ. Paris Sud, Orsay, Fr.). *J. Mol. Spectrosc.* 1977, 67(3), 34-61 (Eng). The IR spectra were recorded for all of the vibrational fundamental regions of NH₃ in Ar, Kr, and Xe matrixes, for the ν_2 fundamental region of NH₃ in Ne and N matrixes, and for the ν_2 , ν_4' , and ν_4'' fundamental regions of the deuterated compds. in an Ar matrix. Detailed studies of the temp. and time dependence of absorptions attributed to rotational structure in the vibrational transitions have led to an assignment consistent with almost free rotation of the NH₃ mol. in rare gas matrixes. The theory of A. F. Devonshire (1936) was used to evaluate a barrier to rotation of NH₃ in these matrixes. The inversion splittings obsd. for the ν_2 fundamentals of NH₃, NH₂D, and NHD₂ are somewhat smaller than for the gas-phase mols., but the calcd. inversion potential barrier is increased by only ~10% in the rare gases. No structure in the ν_2 spectral region can be attributed to the rotation or inversion of NH_{3-dn} in a N matrix. However, rotation of the mol. about its C₃ axis may occur in the N matrix.

C.A. 1977, 87 1120

NH₃

1974

CH₄

88: 128595g Recording of weak absorption bands of ammonia and methane in the visible spectrum by intracavity spectroscopy using a continuous-action dye laser. Antonov, E. N.; Berik, E. B.; Koloshnikov, V. G.; Mironenko, V. R. (USSR). *Teor. Spektroskopiya* 1977, 128-30 (Russ). From *Ref. Zh., Khim.* 1978, Abstr. No. 1B204. Title only translated.

(v_i)

(+)

8



C.A. 1978, 88, N18

NH₃

1977

Полев А. Р.

сумат.
исслед.

Автодороги г. Суоярви
наук.

NH_3 (xc, Tl)

1977

E.K. Crisp

86: 163067s Infrared spectrum of liquid and crystalline ammonia. Bromberg, A.; Kimel, S.; Ron, A. (Dep. Chem., Technion-Israel Inst. Technol., Haifa, Israel). *Chem. Phys. Lett.* 1977, 46(2), 262-6 (Eng). The vibrational spectra of liq. NH_3 and of the solid, grown from the melt under equil. conditions, were measured at several temps. in the range 202-77 K. Some new absorption features were obsd. The controversy regarding reported spectra of the cubic phase was resolved unambiguously.

C.A. 1977. 86 W22

NH₃ (ж, крист.)

1977

8 Д482. ИК-спектр жидкого и кристаллического аммиака. Brønberg A., Kjel S., Ron A. Infrared spectrum of liquid and crystalline ammonia. «Chem. Phys. Lett.», 1977, 46, № 2, 262—266 (англ.)

Получены спектры ИК-поглощения жидкого и кристаллич. аммиака при т-рах 77—202° К в области 700—5000 см⁻¹. Спектры получены в кювете со слоем 1 мк. Кристаллич. образцы приготовлены кристаллизацией из жидкой фазы; условия их приготовления обеспечивали отсутствие метастабильных фаз кристалла. Использование различных окон в кювете доказало независимость структуры спектра от материала окна. Приведены полученные спектры. Отнесение наблюдавшихся ранее полос совпадает с прежним. Наблюден ряд новых полос в области комбинационных и основных тонов. Отмечено, что их наличие в спектре требует осторожности в установлении факта возникновения метастабильной фазы по присутствию новых полос.

Библ. 22.

М. Тонков

Ч.К.

спекр

ф. 1977

№ 8

1977

NH₃

ZUD 1455. Фотодиссоциация аммиака в системе по-
 лос поглощения $\tilde{A} \leftarrow \tilde{X}$. Часть II. Поступательное воз-
 буждение образующихся атомов водорода и механизм
 предиссоциации. Back R. A., Koda S. The photodisso-
 ciation of ammonia in the $\tilde{A} \rightarrow \tilde{X}$ absorption system.
 Part II. Translational excitation of the hydrogen atoms
 produced, and the mechanism of the predissociation.
 «Can. J. Chem.», 1977, 55, № 8, 1387—1395 (англ.; рез.
 франц.)

Изучен изотопный состав водорода, образующегося при фотолизе NH₃ и ND₃ монохроматич. светом 2139, 2062 и 1850А в присутствии пропана и этилена. Найдены верхние оценки квантовых выходов Φ молек. отщепления D₂ из ND₃ при 2139 и 2062А равные 0,003 и 0,004; при 1850А $\Phi(D_2) = 0,009$. Аналогичные результаты получены и для NH₃. На основании зависимостей выходов водорода от соотношения пропана и этилена сделан вывод, что атомы H и D при фотолизе образуются с избыточной кинетич. энергией. Величины интегральных реакц. способностей горячих атомов H при взаимодействии с пропаном равны 0,078; 0,070 и 0,045

Фото —
чесор.

X. 1977

№ 2)

при 2139, 2062 и 1850 Å соотв.; для атомов D из ND₃ соотв-щие величины равны 0,083; 0,062 и 0,029. Т. обр., с ростом энергии фотонов при фотолизе NH₃ и ND₃ реакц. способность горячих атомов H и D снижается. Этот результат объясняется тем, что по мере снижения длины волны фотолизующего света все больший вклад дает новый канал фотодиссоциации с образованием NH₂ в возбужденном состоянии ²A₁. Предложен механизм преддиссоциации NH₃(\tilde{A}), согласующийся с этим результатом и наблюдавшимися ранеедейтероводородными эффектами в фотодиссоциации. Предположено, что диссоциация NH₃ не определяется правилом корреляции состояний, справедливым для диссоциации в плоскости молекул, по крайней мере, при возбуждении

NH₃

ommuna 5935

1977

Barkers A.Y.

Int. Conf. Matrix
Isolat. Spectrosc.

Cluecksp
Braunschweig

West-Berlin, 21-24 June
1977

NH₃

Chemif

1977

88: 13921t Three-photon transitions in gases at microwave frequencies. Battaglia, A. (Ist. Fis., Univ. Pisa, Pisa, Italy). *Lett. Nuovo Cimento Soc. Ital. Fis.* 1977, 20(10), 364-6 (Eng). An expt. in which NH₃ at a pressure of a few μ Hg was irradiated with 2 strong microwave fields, showed that amplification of amplitude modulation sidebands can be obtained with 2 sources of radiation at microwave frequencies in a process involving a 3-photon transition. The process occurs between the 2 energy levels of the (3,3) line of the inversion spectrum of NH₃. A gain at microwave frequencies was obtained from a 2-level system without population inversion as was obtained recently in the optical region. The schematic mechanism of a 3-photon transition is shown.

C.A., 1978, 88, 142

NH₃

1944

Bhattacharyya S.P. et al.
J. Phys. Chem. 1944, 81,
N16, 1602-1604 (cont.)

J, M. II.

cont. F₂ - III

NH₃

1977

BeldiBekov A.B. "Jp.

Cert. no. 5.

Meop. Enakjrock., 1977

57 - 58

(cert. CO₂; --^{III})

Ni₃

1977

Bezverkhnyaya G.Y. et al

Clad.

Texisy Dokl. Ukr. Resp.

Noct.

Konf. Fiz. Khim., 12th

1974, 15-16

Cu₂O₂; III

1977

NH₃

H₂O

HF

Коэф.
расчет.

+2

11

9 Д172. Теоретическое исследование электронных перераспределений, сопровождающих ионизацию остова и валентной оболочки в простых системах с водородными связями. Clark David T., Стотарту Венjamin J. A theoretical investigation of electronic reorganizations accompanying core and valence ionization in simple hydrogen bonded systems. «Theor. chim. acta», 1977, 44, № 2, 181—199 (англ.)

Проведены неэмпирические расчеты аммиака, воды, фтористого водорода и ряда образуемых ими димеров, а также тримера воды. Расчет выполнен в рамках метода МО ЛКАО ССП с использованием двухэкспонентного базиса из сгруппированных гауссовых функций и с оптимизацией геометрии для мономеров и димеров. Найдены энергии основных состояний нейтральных молекул и энергии ионов, полученных ионизацией электронов с остевых орбиталей. Исследованы процессы релаксации, происходящие в таких молекулярных системах после ионизации. Показано, что релаксационные процессы существенно меняют энергию водородных связей.

Б. И. Жилинский

9 1977 № 9

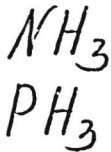
NH₃

OMM-1000 5874

1974

Catlsen N. R

2D0001000 Chem. Phys. Lett
n°. 100X. 1974, 37, 192 - 196
pecker



Челесир

160

(+)

17

24 Б31. Влияние взаимодействия занятой π и вакантной σ молекулярных орбиталей на структуру молекул. Cherry William, Epiotis Nicholas, Borden Weston Thatcher. Effects of filled π and unfilled σ molecular orbital interactions on molecular structure. «Accounts Chem. Res.», 1977, 10, № 5, 167—173 (англ.)

В рамках простого метода МО рассмотрен вопрос о влиянии взаимодействия высшей занятой МО (ВЗМО) и низшей вакантной МО (НВМО), на геометрию и барьеры инверсии (БИ) ряда простых молекул. Переход от плоской к пирамидальной геометрии в AH_3 ($A=N, P$) связан со стабилизирующим взаимодействием π ВЗМО и σ НВМО, величина к-рого обратно пропорциональна их расщеплению. Методом ППДП/2 рассчитаны плоские структуры NH_3 (I) и PH_3 (II) и установлено, что расщепление граничных орбиталей в II в 2 раза меньше, чем в I, что позволило объяснить известное из эксперимента высокое значение БИ II

27. 1977 N 24

(>24 ккал/моль) по сравнению с БИ I (5,78 ккал/моль). В рамках теории возмущений рассчитаны энергии стабилизации (ЭС) пирамидальной структуры с тетраэдрич. валентными углами по сравнению с плоской структурой в изоэлектронном ряду AH_3 ($A=C^-, Si^-, N, P, O^+, S^+$). Рассчитанные ЭС хорошо коррелируют с эксперим. и рассчитанными неэмпирически значениями БИ на атоме A. Аналогичный подход применим к рассмотрению изгиба в плоскости соединений AH_2 ($A=N^-, O, F^+$ и S) и иминов $H_2C=A-H$ ($A=C^-, N, O^+$); влияния числа валентных электронов и чисел заполнения МО на геометрию соединений типа AH_3 и AH_2 . На примере ряда соединений показано, что сокращение угла BAB в соединениях типа AB_3 приводит к значит. понижению энергии НВМО и, как следствие этого, к увеличению БИ, что и наблюдалось экспериментально. Отмечено, что рассматриваемые в данной работе эффекты ранее качественно объяснялись изменениями гибридизации, что в большинстве случаев приводило к тем же выводам. Данная работа может рассматриваться, как обоснование в рамках теории МО описания, использующего понятие гибридизации. В. Фаустов

1977

*NH₃**Sapere
nubilem*

88: 79437w The interaction of inversion with other vibrations in ammonia. Cress, Daniel H.; Quade, C. Richard (Dep. Phys., Texas Tech Univ., Lubbock, Tex.), *J. Chem. Phys.* 1977, 67(12), 5695-701 (Eng). The inversion energy levels of NH₃, ND₃, NH₂D, and NHD₂ were calcd. by using a theory for the interaction of a large-amplitude internal motion with other vibrations. A single-parameter potential-energy function that is the same for all isotopic species was used for the ground state of the other vibrations, and is given by $V(\alpha) = (33,120 \text{ cm}^{-1})(\alpha - \alpha_0)^2$, with $r = 1.014 \text{ \AA}$ and $\alpha_0 = 106.78^\circ$. The agreement between calcd. and obsd. energies is remarkably good; what has previously been presumed to be a dependence of the inversion potential energy upon isotopic species can be accounted for from the interaction with the other vibrations. The inversion frequencies of NH₃ and ND₃ in the excited states for the other vibrations were calcd. from the introduction of a large-amplitude coordinate dependence into the force consts. for the other vibrations. This calcn. used a 4-parameter model; the results are as good, if not better, than those from the 8-parameter model used previously.

C. A. 1978. 88 w 12

1977

NH₃

part 2

✓, K.

89: 33475z A comparison of different approaches to the calculation of Franck-Condon factors for polyatomic molecules. Domcke, W.; Cederbaum, L. S.; Koeppl, H.; Von Niessen, W. (Fak. Phys., Univ. Freiburg, Freiburg, Ger.). *Mol. Phys.* 1977, 34(6), 1759-70 (Eng). In the calcn. of vibrational intensity distribution in electronic spectra of polyat. mols. it is advantageous to express the Franck-Condon factors in terms of the gradient of the final state potential energy surface at the equil. geometry of the initial electronic state. The ionization and excitation of NH₃ are considered as an illustration. Although the geometry change is known accurately for NH₃, poor Franck-Condon factors are obtained with the customary harmonic method. Using anharmonic potential energy functions gives no improvement. The reason for this failure is discussed. Expanding the final state potential energy around the initial state equil. geometry gives satisfactory Franck-Condon factors already in the lowest order of the expansion.

C.A. 1978, 89, N4

70519.1

B, Ph, Ch, TC

NH3771

1977

качесці праць № II-18367

Dewar Michael J.S., Ford

George P. Ground states of molecules. 37.
MINDO/3 calculations of molecular vibra-
tion frequencies. "J. Amer. Chem. Soc.",
1977, N 6, 1685-1691 (англ.)

0882 РМК

839 844

ВИНИТИ

NH₃

1977

ST: 58607r On a double minimum vibrational potential.
David, Carl W. (Dep. Chem., Univ. Connecticut, Storrs,
Conn.). *Comput. Chem.* 1977, 1(2), 93-4 (Eng). A FORMAC
program was used to generate the matrix elements of a harmonic
oscillator perturbed by a Gaussian and the resultant expressions
were validated by comparison with pencil and paper results and
by direct quantum mech. computations of relevant energy levels
in the NH₃ case.

nonrefl
gp-guif

C.A. 1977-87 n8

ommecu 5448

1977

NH₃

Fantucci P
Polazzo S.

Wittig
Deepur,
 μ , γ_{N-H}
ref. accy.
paceo

Theor. chim. acta,
1977, 45, 317 - 24
direct minimization
of the Energy Functional in...
(cur. LiH; III)

NH₃(nc). X4-18832 1977

Farhataziz

Cheung
Norway. J. Phys Chem.
1977, 81 N9, 827

70429.6742

Ch, Ph, TC

(Реф. № 86615 - см. кн.)

NH₃

1977

* 4-18364

Gardiner Derek J., Haji Ali H.,
Straughan Brian P. The effect of electrolytes on the Raman intensity of the symmetric bending mode of ammonia in the liquid phase. "J. Mol. Struct.", 1977, 37, N 1, 79-83 (англ.)

834 840

Q : Q

8003

ВИНИТИ

UNH₂

[Ounces 5380]

1944

Gibson H. W.

(J)

Can. J. Chem. 1944,
55, 2637-41

NH₃ ammonia 5888 1977

Boddard J. D. et al.

Min.

2-conifer
Ref. USSR.
place?

Intern. J. Quant.

Chem., 1977, 12, 133-43

1977

МН₃

17 Б29. Изменения молекулярных свойств при изменении геометрии молекулы. Разделение на электронную и ядерную составляющие. Goddard John D., Cizmadia Imre G. Changes in molecular properties with changes in molecular geometry: a partitioning into electronic and nuclear components. «Theor. chim. acta», 1977, 44, № 3, 293—303 (англ.)

Методом МО ССП в расширенном базисе сгруппированных гауссовых ф-ций рассчитано изменение ряда одноэлектронных св-в (дипольных и квадрупольных моментов, потенциалов на атомах и градиентов электрич. поля) в зависимости от изменения геометрии при инверсии в молекуле аммиака и внутреннем вращении в молекуле этана. Для каждого св-ва выделены вклады электронной и ядерной составляющих. В большинстве случаев эти две составляющие при изменении геометрии меняются в противофазе. Показано, что в изменениях

2. 1977 N 17

мультипольных моментов при инверсии в отличие от внутреннего вращения доминирующим является ядерный вклад. Изменение потенциала на тяжелом атоме (N или C) в обоих случаях определяется электронным фактором, тогда как для атомов H существует различие: в аммиаке доминирует ядерный вклад, а в этане — электронный. Изменение электронной и ядерной составляющих градиента электрич. поля при инверсии аммиака происходит в одинаковой фазе, что не позволяет выделить доминирующий вклад.

А. В. Абраменков

NH₃

1977

ЗД91. Замечание о влиянии группировки базисного набора на одноэлектронные свойства. Goddard John D., Csizmadia G. A note on basis set contraction effects on one-electron properties. «J. Chem. Phys.», 1977, 67, № 3, 1281—1282 (англ.)

С целью исследования влияния группировки базисного набора на результаты расчета одноэлектронных свойств молекул проведены расчеты NH₃ неэмпирич. методом ССП МО ЛКАО в базисе гауссовских ф-ций 9s5p/4s, а также в этом же базисе, сгруппированном в 3s2p/2s, 4s2p/2s, 4s3p/2s, 4s3p/3s, 5s3p/3s. Использованы фиксированная эксперим. геометрия. Обнаружено, что группировка базиса мало влияет на полную энергию (максим. различие в полных энергиях 0,0034 ат. ед.). Чуть более чувствительны к базису моменты зарядового распределения (разброс значений дипольного момента 0,0596 ед. Дебая, квадрупольного 0,0480 ат. ед.). Ма-

кв. №еx.
пакет

ф. 1978 № 3

ложчувствительны к базису полные потенциалы на ядрах (0,007 и 0,0016 ат. ед. для N и H соответственно), сферические квадратичные моменты $\langle r^2 \rangle$ и средние диамагн. восприимчивости. Умеренно сильную зависимость от базиса обнаруживают полные градиенты электрич. поля и константы квадрупольного взаимодействия (наиболее сгруппированный базис дает 95,1% величины, полученной с несгруппированным). Сильно зависят от базиса компоненты электрич. поля и силы Геллмана—Фейнмана (различия в 2 раза).

В. Л. Лебедев

NH₃

Goddard John D.

1977

"J. Chem. Phys.", 1977,
66, N8, 3545-3549.

(E,
paereus)

(see 4F) III

NH₃

Griengl Harfried,
Jauschek Rudolf.

1977

"Tetrahedron.", 1977,
35, N4, 445 - 448.

(NH⁺)



(cav. H⁻) III

NH₃

1977

Haque U.

J. Chem. Phys., 1977,
67, No, 3629-35.

Eisfman

Coll. CH4-III

1974

NH₃

Hamnett A; et al.

check,
preprint
et al.

J. Electron. Spectrosc.
and Relat. Phenom.

1974, 11, N3, 263-274

(corr. PH₃; III)

N₂H⁺

ONCEWICZ 5427 1977

Herbst E. et al.

REVIEWED

2003!

Astrophys J.

1977, 215, 503-10

NH_3^+

observed 5771 1974

(A_{H^+} , I)

Huntress W.T., Jr.
Astrophys. J. Suppl. Ser.,
1977, 33, (4), 495-514.

(See. H^+ , III)

1977

NH₃

Ishida Kazuhiro,

et al.

(помензидел.)
Крибов
рабиовски.
засмерт.)

J. Chem. Phys., 1977,
66, N⁷, 2883-6.

(all. CH₄, III)

NH₃

1977

22 Б166. К определению положения, инишего возбужденного триплетного состояния аммиака. Johnson Kenneth E., Lipsky Sanford. On the location of the lowest triplet excitation in ammonia. «J. Chem. Phys.», 1977, 66, № 10, 4719—4720 (англ.)

Изучены спектры энергетич. потерь электронов ($E=20-50$ эв), проходящих через газ. аммиак, и проведено сравнение кривых, полученных при углах наблюдения 0 и 90°. Обсуждается природа наблюдаемых переходов и противоречия полученных данных с имеющимися ранее.

Л. В. Серебренников

д. 1977 № 32

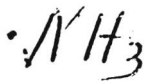
1977

NH₃

87: 31611a On the location of the lowest triplet excitation in ammonia. Johnson, Kenneth E.; Lipsky, Sanford (Dep. Chem., Univ. Minnesota, Minneapolis, Minn.). *J. Chem. Phys.* 1977, 66(10), 4719-20 (Eng). Electron impact energy-loss spectra of NH₃ at scattering angles $\theta = 0$ and 90° were compared for $E = 20\text{-}50$ eV to seek further evidence for the transition obsd. by R. N. Compton et al. (1969) and tentatively assigned as a triplet. For $\theta = 0^\circ$ there appears to be a very weak and broad transition at $\Delta E \approx 4.4$ eV, a feature that has been obsd. in background spectra run under identical conditions. A subtraction of the background from the spectrum gives a flat base line. For $\Delta E \lesssim 5.5$ eV, there is no transition with cross section exceeding ≈ 0.01 that at $\Delta E = 6.43$ eV under the exptl. conditions used. For $\theta = 90^\circ$, the increased width at low ΔE may be due to the presence of the transition to the 3s Rydberg triplet, enhanced at 90° by virtue of the angular dependence of the exchange amplitude at small E . From the max. of the difference spectrum, this triplet is estd. to be at $\Delta E \approx 5.9$ eV. A singlet-triplet gap $E_{ST} \approx 2$ eV (if the triplet were located at 4.4 eV), appears to lie distinctly outside of the reasonable range.

C.A. 1977. 87 n 4

1977



10 Д424. О положении нижнего триплетного уровня в аммиаке. Johnson Kenneth E., Lipsky Sanford. On the location of the lowest triplet excitation of the lowest triplet excitation in ammonia. «J. Chem. Phys.», 1977, 66, № 10, 4719—4720 (англ.)

~~ст.~~ (Ei)

Исследованы спектры электронных потерь NH₃ при энергиях электронов 20—50 эв и углах рассеяния $\theta_1 = 0^\circ$ и $\theta_2 = 90^\circ$. Установлено, что дополнительное уширение полосы A \leftarrow X с максимумом в области 6,4 эв в спектре с $\theta_2 = 90^\circ$ связано с существованием малоинтенсивного триплетного состояния с энергией 5,9 эв. Значение энергии синглет-триплетного перехода $E_{st} = -0,5$ эв хорошо согласуется с данными неэмпирических расчетов. Библ. 18.

Ю. В. Ч.

ф. 1977 № 10

NH₃

CO₂

NH₃ - CO₂

4.1.1. Calculations,
comparisons.

(72)

⊗



c.a. 1978, 88N2

annexa 5883

1977

88: 13729m Infrared spectrum and structure of an ammonia-carbon dioxide complex. A comparison between ab initio MO calculations and matrix isolation results. Jonsson, B.; Nelander, B. (Div. Phys. Chem., Chem. Cent., Lund, Swed.). *Chem. Phys.* 1977, 25(2), 263-9 (Eng). Ab initio SCF calcns. on NH₃, CO₂ and an NH₃-CO₂ complex were carried out. The results were used to calc. force consts. matrixes for free and complexed NH₃ and a potential energy surface for the sym. vibrations of free and complexed CO₂. The coupling between the bending vibration of CO₂ and the umbrella vibration of NH₃ was studied. The calcns. were compared with exptl. results from a matrix isolation study of the NH₃-CO₂ complex.

NH_3

CO_2

$NH_3 \dots CO_2$

И.К. спектр
структур

(+2) ~~✓~~

ф. 1978 № 3

отмечена 5883

1977

ЗД128. Инфракрасный спектр и структура комплекса аммиак—двуокись углерода. Сравнение результатов неэмпирического расчета методом МО с ИК-спектром в матричной изоляции. Jönsson B., Nelder B. Infrared spectrum and structure of an ammonia-carbon dioxide complex. A comparison between ab initio MO calculations and matrix isolation results. «Chem. Phys.», 1977, 25, № 2, 263—269 (англ.)

Неэмпирическим методом ССП МО ЛКАО выполнен расчет полной энергии, геометрич. параметров, силовых постоянных и частот колебаний молекул NH_3 и CO_2 и комплекса $NH_3 \dots CO_2$, а также энергии образования комплекса. Вычисленные значения частот колебаний сопоставлены с измеренными в матрицах аргона и азота. Расчет дает правильную величину расщепления частоты деформац. колебаний молекулы CO_2 при комплексообразовании. Однако вычисленные величины сдвигов частот симметричных колебаний v_1 и v_2 молекулы

NH₃

отмече 5883

1977

7 Б146. Иракрасный спектр и строение комплекса амиака с двуокисью углерода. Сравнение данных, полученных при изоляции в матрицах, с расчетами молекулярных орбиталей методом ab initio. Jönsson B., Nelaender B. Infrared spectrum and structure of an ammonia-carbon dioxide complex. A comparison between ab initio MO calculations and matrix isolation results. «Chem. Phys.», 1977, 25, № 2, 263—269 (англ.)

Проведены расчеты методом ab initio MO ССП молекул NH₃ (I), CO₂ (II) и комплекса NH₃·CO₂ (III). Полученные результаты использованы для расчета силовых постоянных свободного и связанного I и поверхности потенциальной энергии для симм. вал. кол. свободного и связанного II. Обсужден вопрос о взаимодействии в молекуле III деф. кол. II и сим. деф. кол. I. Полученные данные сопоставлены с величинами, вычисленными из колебательных спектров I—III в матрицах при низких температурах.

С. Б.

2-17-1978

отмеч 5444

1977

NH₃

12 Д440. Субмиллиметровый вращательно-инверсионный переход $J=1 \leftarrow 0$ $\Delta K=0$ между $^{14}\text{NH}_3$ и $^{15}\text{NH}_3$ в состоянии v_2 . Karyakin E. N., Кирпич A. F., Parousek D., Shohurin Ju. M., Urbán S. Sub-millimeter-wave rotation-inversion transition $J=1 \leftarrow 0$, $\Delta K=0$ of $^{14}\text{NH}_3$ and $^{15}\text{NH}_3$ in the v_2 state. «J. Mol. Spectrosc.», 1977, 66, № 1, 171—173 (англ.)

Субмиллиметровый переход

Сообщается о прямом наблюдении субмиллиметрового перехода $J=1 \leftarrow 0$, $\Delta K=0$, $K=0$ в газе аммиака, содержащем 12% $^{15}\text{NH}_3$. Измерения проводились на субмиллиметровом спектрометре со стабилизированной лампой обратной волны и акустич. приемником. Предварительные исследования показали аномально большую зависимость центров линий от давления газа. Из измерений частоты $v_{\text{эксп}}$ и полуширины $(\Delta v)_{1/2}$ линии, обусловленной ударным и доплеровским уширениями, получено, что сдвиг центра линии является линейной ф-цией давления. Частоты переходов, определенные линейной экстраполяцией к нулевому давлению, находятся в хорошем соответствии с ИК-измерениями высокого разрешения.

Б. В. Строгонов

9. 1977, № 12

NH₃

Омск 5449 1974

24 Б268. Субмиллиметровый вращательно-инверсионный переход $J=1\leftarrow 0$, $K=0$ $^{14}\text{NH}_3$ и $^{15}\text{NH}_3$ в v_2 состоянии. Kaguakin E. N., Kfirnov A. F., Rousek D.; Shchurin Ju. M., Urban S. Sub-millimeter-wave rotation-inversion transition $J=1\leftarrow 0$, $\Delta K=0$ of $^{14}\text{NH}_3$ and $^{15}\text{NH}_3$ in the v_2 state. «J. Mol. Spectrosc.», 1977, 66, № 1, 171—173 (англ.)

Выполнено прямое измерение субмиллиметрового вращательно-инверсионного перехода $J=1\leftarrow 0$, $\Delta K=0$ $^{14}\text{NH}_3$ (I) и $^{15}\text{NH}_3$ (II), в возбужденном колебательном состоянии v_2 . Предв. измерения показали аномально большую зависимость положения центра линии от давления NH₃. По линейной зависимости величины сдвига частоты центра линии от полуширины линии при изменении давления определены частоты линий при нулевом давлении. Для перехода $J=1\leftarrow 0$, $\Delta K=0$ I и II, соотв., частоты равны: $466245,1 \pm 0,1$ и $430038,3 \pm 0,2$ Мгц.

С. Н. Мурзин

2. 1974 № 24

NH₃

ammonia 5444 1977
XII - 4062

M. M.
Encyclopedia

87: 60249u Sub-millimeter-wave rotation-inversion transition $J = 1 \leftarrow 0$, $\Delta K = 0$ of ammonia (nitrogen-14 and -15) in the v_2 state. Karyakin, E. N.; Krupnov, A. F.; Papousek, D.; Shehurin, Yu. M.; Urban, S. (Radiophys. Res. Inst., Gorkiy, USSR). *J. Mol. Spectrosc.* 1977, 66(1), 171-3 (Eng). A direct sub-mm wave observation is reported of the $J = 1 \leftarrow 0$, $\Delta K = 0$ transition in the v_2 state of NH₃ gas contg. 12% ¹⁵NH₃. Preliminary measurements showed an anomalously large dependence of the line centers on the pressure of the NH₃ gas. The transition frequencies were obtained at zero pressure and agree with the predicted values to within the precision of the high-resoln. IR measurements.

C. J. 1977-87 n 8

NH₃

18 nymph. collec. 3363a | 1977

{
el. veech.
pacreas
Chesapeake N-H)

Kazuhiko Iglida,
et al.
J. Crust. Phys., 66,
N7, 2883-6

NH_3^+

Klimo Viliam,
Tíno Jozef.

1977

"Chem. Phys. lett.",
pařízení 1977, 46, n^o 3, 481-484.
výrobou
Karviná - POKA

● $(\text{cas. } \underline{\text{CH}}_3)$

NH₃

стмиса 5244

1977

20 Б1432. Фотодиссоциация аммиака в системе по-
лос поглощения $\tilde{A} \leftarrow \tilde{X}$. Часть I. Дейтериевые изотопные
эффекты в фотодиссоциации. Koda S., Back R. A.
The photodissociation of ammonia in the $\tilde{A} \leftarrow \tilde{X}$ absorpti-
on system. Part I. Deuterium isotope effects in the pho-
todissociation. «Can. J. Chem.», 1977, 55, № 8, 1380—1386
(англ.; рез. франц.)

фото -
диссоци
Изучали изотопный состав водорода, образующегося
при фотолизе смесей NH₃+ND₃ различного состава при
давл. 50—400 мм в присутствии пропана, являющегося
акцептором атомов H или D (р-ция H+C₃H₈→H₂+
+C₃H₇). Фотолиз производили монохроматич. светом
(2144, 2139, 2062 и 1850А) четырех ламп в 1-й полосе
поглощения NH₃ $\tilde{A} \leftarrow \tilde{X}$ (2200—1700А). В этих смесях
имеются также NH₂D и ND₂H, содержания к-рых вы-
числяли на основании известных из лит-ры констант
равновесия изотопного дейтероводородного обмена. По-
казано, что главным перв. процессом фотодиссоциации

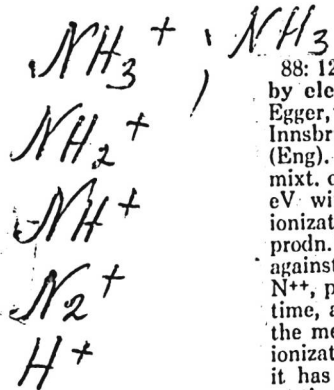
Х. 1977

№ 20

(ФД) является процесс типа $\text{NH}_3 + h\nu \rightarrow \text{NH}_2 + \text{H}$, происходящий с квант. выходом $\Phi \approx 1$ для NH_3 , NH_2D , ND_2H и ND_3 независимо от изотопного состава молекул. Процесс отщепления молекулы D_2 от ND_3 происходит с $\Phi < 0,003$ и $\sim 0,009$ при 2139 и 1849\AA соотв. Определены внутримолек. изотопные эффекты (ИЭ) (отношения вероятностей отщепления H и D) в перв. процессе ФД NH_2D и ND_2H . При действии света 2062 и 1850\AA , соотв-щего возбуждению колебательных уровней $v_2' = 3$ и $9 - 10\text{\AA}$ -состояния ИЭ, имеет обычную величину $1,9 - 3,2$, характерную для перв. кинетического ИЭ. Однако при действии света 2144 и 2139\AA , что соответствует возбуждению A -состояния с колебательными уровнями $v_2' = 0,1$, ИЭ становится аномально большим ($8 - 10$ и больше). При этих длинах волн спектр поглощения ND_3 обнаруживает вращательную структуру, указывающую на большое время жизни возбужденного состояния. Большой ИЭ объясняется туннельным механизмом процесса предиссоциации при малых энергиях колебательного возбуждения. Этот ИЭ вряд ли м. б. использован для разделения изотопов H и D путем селективной ФД NH_2D , содержащегося в кол-ве $\sim 0,03\%$ в аммиаке с природным изотопным составом, вследствие перекрывания спектров поглощения NH_3 и NH_2D , в результате к-рого селективность поглощения света в эквимолек. смеси NH_3 и NH_2D не превышает 10 . Однако большой ИЭ при фотолизе м. б. использован для удаления примеси NHD_2 из ND_3 , если такая задача возникнет.

В. Е. Скурат

1977



88: 12140a Ionization of ammonia and deuterated ammonia by electron impact threshold up to 180 eV. Maerk, T. D.; Egger, F.; Cheret, M. (Inst. Atomphys., Univ. Innsbruck, Innsbruck, Austria). *J. Chem. Phys.* 1977, 67(8), 3795-802 (Eng). Electron impact ionization was studied in NH₃ and in a mixt. of NH₃ and ND₃ as a function of electron energy up to 180 eV with a double focusing mass spectrometer. Abs. partial ionization cross section functions were obtained in NH₃ for the prodn. of NH₃⁺, NH₂⁺, NH⁺, N₂⁺, H⁺, and NH₃⁺⁺ by normalization against the Ar ionization cross section. The ions NH₂⁺⁺ and N⁺⁺, produced by the process NH₃ + e, were found for the first time, and an est. of the ionization cross section is given. From the measured partial ionization cross section functions the total ionization cross section function of NH₃ was deduced. In addn., it has been possible to measure the ratio of the partial cross section for double and single ionization of the parent ions ND₂H and ND₃ as a function of electron energy. The ionization cross section results obtained are compared with previous detns. where available and with a recent semiempirical total ionization cross

(J; A,P) \oplus 48

C. H., 1978, 88, 12

section calcn. by Jain and Khare. From n th root extrapolation the following ionization and appearance potentials have been derived from the low energy cross section function: I.P. ($\text{NH}_3^+/\text{NH}_3$) = 10.4 ± 0.1 eV; A.P. ($\text{NH}_2^+/\text{NH}_3$) = 16.5 ± 0.2 eV; A.P. (NH^+/NH_3) = 22.9 ± 0.5 and 27.2 ± 0.5 eV; A.P. (N^+/NH_3) = 29.5 ± 0.5 eV; A.P. (H_2^+/NH_3) = 14.8 ± 0.2 eV; A.P. (H^+/NH_3) = 23.0 ± 0.2 , 27.7 ± 0.5 , and 30.6 ± 0.5 eV; I.P. ($\text{ND}_2\text{H}^+/\text{ND}_2\text{H}$) = 10.5 ± 0.1 eV; I.P. ($\text{ND}_3^+/\text{ND}_3$) = 10.7 ± 0.1 eV; I.P. ($\text{NH}_3^{++}/\text{NH}_3$) = 34.4 ± 0.2 eV; I.P. ($\text{NDH}_2^{++}/\text{NDH}_2$) = 34.6 ± 1.0 eV; I.P. ($\text{ND}_2\text{H}^{++}/\text{ND}_2\text{H}$) = 34.6 ± 0.5 eV; and I.P. ($\text{ND}_3^{++}/\text{ND}_3$) = 34.6 ± 0.5 eV. For the doubly ionized parent mols. a square law has been found from threshold up to some 20 eV above onset. The ionization and appearance potentials obtained are also compared with such earlier results as are available.

9 Б75. Ионизация аммиака и дейтерированного аммиака электронным ударом с энергией от порога до 180 эв. Mark T. D., Egger F., Cherg M. Ionization of ammonia and deuterated ammonia by electron impact from threshold up to 180 eV. «J. Chem. Phys.», 1977, 67, № 8; 3795—3802 (англ.)

С помощью масс-спектрометра с двойной фокусированной измерена зависимость от энергии электронов E -абс. парциальных сечений ионизации NH_3 (I) электронным ударом с образованием NH_n^+ ($n=0—3$), H_2^+ , H^+ и NH_2^{2+} . Приведение к абс. шкале осуществлялось путем нормировки на сечение ионизации аргона. Из парциальных сечений ионизации I определена зависимость полного сечения ионизации от E . Измерена также зависимость отношений парциальных сечений образования однократно заряженных ионов к парциальным сечениям образования двухкратно заряженных ионов для молекул ND_2H (II) и ND_3 (III). Из полученных эксперим. результатов определены Пт ионизации (ПИ) и Пт появления (ПП) различных ионов для ПИ I, получено значение $10,4 \pm 0,1$ эв, для ПП NH_n^+ из I при $n=3—0$, соотв. $16,5 \pm 0,2$, $22,9 \pm 0,2$, $29,5 \pm 0,5$; для ПП H_2^+ и H^+ из I, соотв. $14,8 \pm 0,2$ и $23,0 \pm 0,2$; для ПИ II $10,5 \pm 0,1$, для ПИ III $10,7 \pm 0,1$; для ПИ NH_3^{2+} $34,4 \pm 0,2$, ПИ NDH_2^{2+} , ND_2H^{2+} и ND_3^{2+} $34,5 \pm 0,5—1$. Е. Николаев

NH_3^{2+}

(2)

Х: 1978
N9

NH₃

1977

6 Д339. Ионизация аммиака и дейтерированного аммиака электронным ударом от порога до 180 эв.
Mägk T. D., Egger F., Chergat M. Ionization of ammonia and deuterated ammonia by electron impact from threshold up to 180 eV. «J. Chem. Phys.», 1977, 67, № 8, 3795—3802 (англ.)

С помощью сдвоенного масс-спектрометра в диапазоне электронных энергий от порога до 180 эв измерены полные абс. сечения образования различных ионов-фрагментов при ионизации молекул NH₃ и ND₃ электронным ударом. Определены также потенциалы ионизации и потенциалы появления ионов. Так, первые потенциалы ионизации NH₃, ND₂H, ND₃ соответственно равны 10,4±0,1; 10,5±0,1; 10,7±0,1 эв. Вторые потенциалы ионизации (для образования двухкратных ионов) соответственно 34,4±0,2; 34,6±0,5; 34,6±0,5 эв. Потенциалы появления ионов-фрагментов NH₂⁺, NH⁺, N⁺, H₂⁺, H⁺ при ионизации NH₃ соответственно 16,5±0,2; 22,9±0,5; 29,5±0,5; 14,8±0,2; 23±0,2 эв.

Б. Ф. Гордиец

Ф. 1948, № 6 (NH₂⁺, NH⁺, N⁺, H₂⁺, H⁺ (AP))

1977

NH₃

Metzgar T.D. et al

предс
мерид.
молекул

"Theor. chim acta" 1977,
"45" N3, 235-237 (амер.)

cell. Cf/H₄ - 11

VH₃

1977

9 Д547. Исследование столкновительной релаксации методом двойного резонанса с использованием совпадения частот линии $v_2R(2,0)$ $^{15}\text{NH}_3$ и $R(42)$ -линий CO_2 -лазера. Mogita Norio, Kano Satoru, Ueda Yoshifumi, Shimizu Tadao. Double resonance study of collisional relaxation on the frequency coincidence between the $v_2R(2,0)$ line of $^{15}\text{NH}_3$ and the $R(42)$ line of CO_2 laser. «J. Chem. Phys.», 1977, 66, № 5, 2226—2228 (англ.)

*столкнов
релаксаци* Методом двойного радиооптического резонанса исследованы процессы столкновительной релаксации в молекуле $^{15}\text{NH}_3$. Оптическое излучение (непрерывный и импульсный) CO_2 -лазеры, линия $R(42)$) возбуждало переход ($V_2=0$, $J=2$, $K=0 \rightarrow V_2=1$, $J=3$, $K=0$), поглощение микроволнового излучения измерялось на нескольких инверсионных переходах молекул $^{15}\text{NH}_3$ и $^{14}\text{NH}_3$ в зависимости от давления газа. Обнаружены три вида сигналов резонанса в зависимости от типа симметрии исследуемых состояний. Предварительная интерпретация полученных результатов проведена на основе правил отбора для столкновительной релаксации.

X. B.

φ 1977 № 9

NH₃

[Zelophi. art. 3363a]

1972

Narvae A.M.

струйки
коррекции.
qz-15uv.

J. Cheui Phys. 66,
N 7, 317-20

NH_3

стмиси 5640

1974

2 Д386. Определение электрического дипольного момента N^{15}H_3 в колебательном состоянии v_2 по двойному ИК-резонансу. Отт В. І., Ока Такэши. Determination of electric dipole moment for the v_2 vibrational state of $^{15}\text{NH}_3$ by infrared-infrared double resonances. «J. Mol. Spectrosc.», 1977, 66, № 2, 302—313 (англ.)

С помощью техники двойного ИК-резонанса на боковых линиях лазера CO_2 , возникающих при электрооптич. модуляции радиочастотой, изучен эффект Штарка 2 порядка для перехода $v, J, K (0,3,0s \leftarrow 0,2,0a)$. Преимущества метода перед обычной техникой эффекта Штарка заключаются в возможности измерения дипольного момента молекулы в основном и возбужденном колебательных состояниях молекулы. недостаток — тре-

Ф. 1978 № 2

бование точного совпадения частот лазера и исследуемого колебательно-вращательного перехода. Определены дипольные моменты $N^{15}H_3$ в состояниях основном и $v_2=1$, измерены интенсивности компонент М-расщепления и форма их контуров, свободных от доплеровского уширения. Значительное изменение дипольного момента связано с возможностью инверсии молекулы. Измеренные интенсивности в пределах точности опыта согласуются с результатами расчета. Библ. 23. М. Тонков



NH₃

Omniscie 5640

1977

(v₂)

87: 93036a Determination of electric dipole moment for the v_2 vibrational state of ammonia (nitrogen-15) by infrared-infrared double resonances. Orr, B. J.; Oka, Takeshi (Herzberg Inst. Astrophys., Natl. Res. Coun. Canada, Ottawa, Ont.). *J. Mol. Spectrosc.* 1977, 66(2), 302-13 (Eng). An IR-IR double-resonance technique, employing the sidebands produced by electro-optic amplitude modulation of a single-frequency CO₂ laser, is used to observe the 2nd-order Stark effect of the v_2 as $R(2, 0)$ transition of ¹⁵NH₃. The technique enables the Stark shifts in ground and vibrationally excited states to be obsd. sep. and yields the elec. dipole moments: $\mu(v_2 = 1) = 1.253 \pm 0.003$ D, $\mu(v = 0) = 1.469 \pm 0.004$ D. The relative intensity distribution, linewidths, and line shapes of features in the double-resonance Stark spectra are also examd.

C.A. 1977. 87 n 12

NH₃

Ottawa 4960 1977

Owen T., Pickellar A.R.W.
et al.

Credit/
Reader

Astron. and Astrophys.

1977, 59, 291-95

A study of the 1.5 μ NH₃ band
on Jupiter and  Saturn.

А-25-18881

1977

NH₃

20 Б310. Колебательная зависимость сверхтонкой квадрупольной константы для ¹⁴NH₃, наблюдалась методом спектроскопии насыщения поглощения. Ou h a u - o и p M., Bordeé C. J., Bordé J. Vibrational dependence of the hyperfine quadrupole constant in ¹⁴NH₃ observed by saturated absorption spectroscopy. «Mol. Phys.», 1977, 33, № 2, 597—600 (англ.)

Для молекулы ¹⁴NH₃ методом двухчастотной лазерной спектроскопии насыщения, с использованием 2 лазеров на NO₂ и линии излучения P(13), исследована квадрупольная СТС компонент перехода aSQ (8,7) полосы v₂. Получено подтверждение колебательной зависимости константы квадрупольного взаимодействия eqQ. Определена разность между значениями этой константы для верхнего и нижнего уровней $\delta(eqQ) = -350$ кГц.

Л. А. Корытко

сверх
тонкая
квадруп.
конст.

д. 1977 № 20

1977

NH₃

11 Д 180. Теоретические исследования инверсии в молекуле аммиака. Radzio E. Theoretical studies of inversion in ammonia molecule. «Acta phys. pol.», 1977, A51, № 4, 601—608 (англ.)

Методом ССП МО ЛКАО в базисе лепестковых гауссовских ф-ций $6s3p/3s$ рассчитаны потенциальные кривые инверсии в молекуле аммиака и в линейном (атом H лежит на прямой, соединяющей атомы N) и раздвоенном (атомы N лежат на оси 3-го порядка) димерах аммиака. В расчетах молекулы проведена частичная оптимизация геометрии. Найдено, что наиболее стабильная конформация обладает симметрией C_{3v} . Расчеты димеров показали, что наиболее стабильным является линейный димер с длиной связи N—N 5,75 ат. ед. В линейном димере инверсия в молекуле аммиака, являющейся донором протона, наиболее предпочтительна. Инверсия в акцепторе протона невыгодна из-за большой величины барьера. В раздвоенном димере инверсия как одной так и двух молекул аммиака очень затруднена. Полученные результаты согласуются с эксперим. данными.

В. А. Корсунов

помеч. красные
человески
стабильн.
Молекул.

ф. 1977
N 11

NH₃

1977

Radzio E.

(inversion)
dep.
exp.)

Acta Phys. Pol. A. 1977,
A51 (4), 601-8.

Theoretical studies of inversion
in the ammonia molecule:

C.A. 1977, 86, N.26, 19550216

NH₃

Katerink H.J.

1977

specimen
UK no. 1000.

"Opt. Communis" 1977,
20, N 3, 415-417 (aure)

(all CO₂; 10)

NH₃

X-4-17493

1977

14 Б34. Низколежащие состояния аммиака; исследования обобщенным методом валентных схем с учетом конфигурационного взаимодействия. Rianda Ronald, Fruenholtz Robert P., Goddard William A., III. The low lying states of ammonia; generalized valence bond and configuration interaction studies. «Chem. Phys.», 1977, 19, № 2, 131—136 (англ.)

Обобщенным методом валентных схем с учетом конфигурац. взаимодействия изучены низколежащие возбужденные состояния молекулы NH₃. Расчеты проводились при эксперим. равновесной геометрии. Базис состоял из ГФ 9s5p/4s2p на атоме N и 4s/2s на атоме H с добавлением на атоме N поляризац. d-функций и набора диффузных функций 3s2p для лучшего описания ридберговских орбиталей. Найдены энергии вертикальных возбуждений электрона с исподеленной пары азота в ридберговские состояния. Вычисленные значения составляют 6,140 и 6,370 эв для перехода $n \rightarrow 3s$, 7,860

расчет
возбужд.,
составлен

X. 1977. № 14

и 7,877 эв для $n \rightarrow 3p_{x,y}$, 7,865 и 8,145 эв для $n \rightarrow 3p_z$, 8,844 и 8,855 эв для $n \rightarrow 4s$ (соотв. энергии триплетных и синглетных переходов). Эти результаты хорошо согласуются с эксперим. данными (полученными методом электронного удара для синглетных возбуждений): 6,392 эв (A^1A_2''), 7,927 эв (B^1E''), 8,258 эв (C^1A_1'), 9,25 эв (D^1A_2''). Полученные в расчете малые величины синглет-триплетных расщеплений согласуются с ожидаемыми для ридберговских возбужденных состояний. В расчетах не найдено обнаруженного экспериментально низколежащего (4,4 эв) триплетного состояния (специально проведенные расчеты дают для перехода $\sigma \rightarrow \sigma^*$ энергию, на несколько эв большую).

М. Гофман

оених

XCS-14793

1972

NH₃

Muzkof
Deevey
Cochrane

86: 147928t The low lying states of ammonia; generalized valence bond and configuration interaction studies. Rianda, Ronald; Frueholz, Robert P.; Goddard, William A., III (Arthur Amos Noyes Lab. Chem. Phys., California Inst. Technol., Pasadena, Calif.). *Chem. Phys.* 1977, 19(2), 131-6 (Eng). The 9 lower singlet and triplet states of NH₃ were studied using ab initio generalized valence bond (GVB) and configuration interaction (CI) wavefunctions. The 8 lowest (vertical) excited states were found to be Rydberg in nature. Vertical excitation energies were detd. to be (in eV): 6.14 and 6.37 for $n \rightarrow 3s$; 7.86 and 7.88 for $n \rightarrow 3p_{\text{ex}}$, and 7.87 and 8.15 for $n \rightarrow 3p_z$ (in each case the triplet energy is 1st). These results are in excellent agreement (0.06 eV av. error) with the obstd. electron impact excitation energies (in eV), 6.39 ($A^1A''_1$), 7.93 ($B^1E''_1$), and 8.26 ($C^1A''_1$). The small singlet-triplet energy splittings are consistent with those expected for Rydberg like excited states. No vertical transition was found consistent with the small peak at 4.4 eV apparently obstd. in threshold electron impact expts.

C.A. 1977, 86 220

NH₃

№ 7 Д175. Низколежащие состояния в аммиаке. Исследование методом обобщенных валентных схем и методом конфигурационного взаимодействия. Rianda Ronald, Fruelholz Robert P., Goddard William A., III. The low lying states of ammonia; generalized valence bond and configuration interaction studies. «Chem. Phys.», 1977, 19, № 2, 131—136 (англ.)

Низко-
все состоя-
ние-сти.

Неэмпирическим методом обобщенных валентных схем в двухэкспоненц. базисе сгруппированных лепестковых гауссовских ф-ций $4s2p/3s$ с включением $2p$, $3s$ и $3d$ поляризационных ф-ций для атома азота и методом конфигурационного взаимодействия с учетом всех однократно возбужденных конфигураций исследовано электронное строение основного и восьми низших синглетных и триплетных состояний аммиака ($\tilde{A}^{3,1}A_2''$, $\tilde{B}^{3,1}E''$, $\tilde{C}^{3,1}A_1'$ и $\tilde{D}^{3,1}A_2''$). Во всех расчетах использована эксперим. геометрия для основного состояния. Найдено, что все возбужденные состояния — ридберговские. Вертикальные энергии возбуждений найдены равными (в эВ) 6,14 и 6,37 ($n \rightarrow 3s$); 7,86 и 7,877 ($n \rightarrow 3p_{x,y}$); 7,865 и 8,145 ($n \rightarrow 3p_z$); 8,844 и 8,885 ($n \rightarrow 4s$) для триплетных и синглетных состояний соответственно. Полученные результаты хорошо согласуются с эксперим. данными по электронному захвату.

07.1977 № 7

К-15-124993

1977

1977



87: 191313h Ab initio study of the photodissociation of ammonia. Runau, Ralf; Peyerimhoff, Sigrid D.; Buenker, Robert J. (Inst. Phys. Chem., Univ. Bonn, Bonn, Ger.). *J. Mol. Spectrosc.* 1977, 68(2), 253-68 (Eng). An ab initio SCF and CI treatment of the electronic spectrum of NH₃ in both the pyramidal and planar conformation is reported which employs an [8, 6, 1/4, 1] AO basis of near Hartree-Fock quality; the ground state CI energy obtained for the equil. conformation is -56.4241 a.u. In addn., further calcns. were carried out at the SCF level to study various photodissocn. reactions of NH₃. The calcd. CI transition energies agree with corresponding exptl. values to within 0.0-0.3 eV, usually in the 0.1-eV range. Photodissocn. to the NH₂ (²B₁) + H(²S) products is confirmed thereby to proceed via the A 1a''² → 3s state of ammonia, but contrary to earlier speculation it is found that the transformation between reactant and products is already satisfactorily described at the SCF or orbital level, i.e., a Rydberg 3s of NH₃ is gradually converted into a pure hydrogenic 1s species as dissociation proceeds. In addn. the photolysis of NH₃ to NH₂ (²A₁) + H(²S) is argued to occur via the C 1a''² → 3p_z ¹A'1 state and as such is a symmetry allowed process, in contrast to the previous assignment involving the \tilde{B} 1a''² → 3p_{x, y} ¹E species. Finally an attempt is made to analyze the mechanisms of various NH + H₂ photodissocn. processes with the help of SCF calcns. and symmetry arguments for various higher-lying excited states of NH₃.

photodissocn.

L.A., 1977 84
N24

1977

№ 113

5 Д201. Неэмпирическое исследование фотодиссоциации аммиака. Runau Ralf, Peuerlsmhoff Sigrid D., Buenker Robert J. Ab initio study of the photodissociation of ammonia. «J. Mol. Spectrosc.», 1977, 68, № 2, 253—268 (англ.)

Неэмпирическим методом ССП МО ЛКАО в большом базисе сгруппированных гауссовских ф-ций и с учетом взаимодействия большого числа одно- и двухкратновозбужденных конфигураций исследовано электронное строение NH_3 . Рассмотрены экспериментальные пирамидальная и плоские (симметрия C_{2v} , D_{3h} и C_s) конформации. Расчитаны их электронные спектры, а также поверхности потенц. энергии для разных возможных путей фотодиссоциации 1. Энергии переходов отличаются от эксперим. значений максимально на 0,3 эв, а чаще всего не более, чем на 0,1 эв. Подтверждено предположение, что фотодиссоциация 1 на $\text{NH}_2(^2\text{B}_1) + \text{H}(^2\text{S})$ протекает через состояние $A\ 1a_2'' \rightarrow 3s$, причем процесс адекватно описывается на уровне ССП: в процессе дис-

Фотодис-
ссоциация

9.1978, N5

социации ридберговские орбитали 1 постепенно переходят в чисто водородные 1s-орбитали. Фотолиз на $\text{NH}_2(^2\text{A}_1) + \text{H} (^2\text{S})$ протекает через состояние $C\ 1a_2'' \rightarrow 3p_z\ ^1A_1'$, а не через $B\ 1a_2'' \rightarrow 3p_{x,y}\ ^1E'$, как это предлагалось ранее, и является разрешенным по симметрии процессом. Проведены также расчеты и проанализированы на основании соображений симметрии различные пути фотодиссоциации 1 на $\text{NH} + \text{H}_2$. В. Л. Лебедев



NH₃

данные 5983

1977

) 7 Д197. Явное представление орбиталей неподеленных пар в расчетах NH₃, H₂O, N₂H₄ и H₂O₂ методом молекулярных орбиталей. Руан Р. Ваггу, Todd H. David. Explicit representation of lone-pair orbitals in molecular orbital calculations for NH₃, H₂O, N₂H₄, and H₂O₂. «J. Chem. Phys.», 1977, 67, № 11, 4787—4793 (англ.)

Неэмпирическим методом ССП МО ЛКАО в базисах гауссовских ф-ций OCT-4ГФ и 9s5p/4s, сгруппированных в 4s3p/2s и в 5s4p/2s, исследовано электронное строение NH₃, H₂O, N₂H₄ и H₂O₂. Проведены расчеты с дополнительным включением в базис орбиталей связи (ОС), центрированных на серединах связей, и/или орбиталей неподеленных пар (ОНП) вида $\exp(-\alpha(r-R)^2)$, где r — вектор, указывающий направление неподеленной пары, R — ее расстояние от атома, α — орбитальная экспонента. При расчетах оптимизировались величины a , r и R , а также геометрия молекул. Приведены энергетич. характеристики, дипольные моменты, равно-

ст. п. №
Часть 1

(+3)

Ф. 1948 НЧ

весная геометрия, потенциальные кривые и барьеры вращения
(БВ). Обнаружено, что ОНП располагаются вблизи ядер N и O, и их оптимальные расположения и экспоненты малочувствительны к окружению. Сделан вывод, что ОНП могут обычным образом включаться в сгруппированный базис для описания поляризационных эффектов, причем их использование с точки зрения необходимо на расчеты машинного времени экономичнее, чем использование обычных поляризационных ф-ций. С точки зрения понижения полной энергии использование ОС и ОНП примерно одинаково эффективно, однако с применением ОНП гораздо лучше передаются такие характеристики, как БВ и барьеры инверсии.

В. Л. Лебедев

нтар
ийс

1977

NH₃

87: 143606j Analysis of the $\nu_3 + \nu_4$ band of ammonia.
Sarangi, Sunil (Phys. Res. Lab., Ahmedabad, India). *J. Quant. Spectrosc. Radiat. Transfer* 1977, 18(3), 257-88 (Eng).
The 2- μm band of NH₃ was studied with a spectral resoln. of 0.05 cm⁻¹. Most of the strong lines, belonging to the $\nu_3 + \nu_4$ (perpendicular) band, were identified and spectroscopic consts. were derived.

($\nu_3 + \nu_4$)

C.A. 1977, 87 1118

NH₃

1977

measured
 $\nu_3 + \nu_4$
JPL

87: 143607k Measurements of line intensities in the two-micron band of ammonia. Sarangi, Sunil (Phys. Res. Lab., Ahmedabad, India). *J. Quant. Spectrosc. Radiat. Transfer* 1977, 18(3), 289-93 (Eng). Intensities of about 400 lines of NH₃ in the 2- μ region were measured using Doppler-broadened lines. Comparison with rigid-rotor calcns. gives fair agreement between theory and expt. The total integrated intensity of the $\nu_3 + \nu_4$ (perpendicular) band was estd. at 17.19 cm⁻² atm⁻¹ at 296 K.

C. A. 1977. 24 N18

NH₃

отмечено 5510

? Отмечено 5510 1977

2 Б150. Постоянные кориолисова взаимодействия некоторых тригидридов и дейтеридов элементов V группы, определенные с помощью метода прогрессирующей жесткости. Siva Sarmata K. V., Babu Rao P., Sreegathamury K. Coriolis coupling constants of some trihydrides and deuterides of group X elements by the method of progressive rigidity. «Indian J. Pure and Appl. Phys.»; 1977, 15, № 3, 307–308 (англ.)

Для пирамидальных молекул NH₃, PH₃, AsH₃, SbH₃ и их дейтероаналогов составлены матрицы форм колебаний типа симметрии E путем разложения соответствующих матриц кинематич. коэф. на произведения треугольных матриц в соответствии с методом прогрессирующей жесткости. Из полученных матриц форм колебаний для перечисленных 8 молекул рассчитаны постоянные кориолисова взаимодействия S^z_{4,4}, а затем S^z_{3,3}, линейно

Мин

(+3)

51

(+3)

20. 1978 № 2

зависящие от $\zeta_{4,4}$. Полученные значения $\zeta_{4,4}$ сопоставлены с эксперим. либо с рассчитанными из точных наборов силовых постоянных. Отмечено, что вычисл. значения несколько выше эксперим., что объяснено использованной моделью силового поля, в к-рой силовая постоянная $F_{4,4}$ минимальна. Точные силовые поля дают более высокие значения для $\zeta_{4,4}$. Из хорошего согласия рассчитанных по методу прогрессирующей жесткости и эксперим. значений постоянных кориолисова взаимодействия сделан вывод о характеристичности по форме деф. кол. тригидридов и тридейтеридов элементов V группы.

Ю. Н. Панченко

NH₃

NH₂F

NF₃

PH₃

PH₂F

PHF₂

PF₃

KS-1893D

1977

87: 73703n Ab initio investigation of geometry changes during inversion of NH₃, NH₂F, NHF₂, NF₃ and PH₃, PH₂F, PF₃. Schmiedekamp, Ann; Skaarup, Steen; Fulay, Peter; Boggs, James E. (Dep. Chem., Univ. Texas, Austin, Tex.). *J. Chem. Phys.* 1977, 66(12), 5768-78 (Eng). Ab-initio SCF MO calens. with complete geometry optimization were done by using consistent basis sets for each member of the

series

(Empir. nafam, kb. sec.
parameters)

C.A. 1977. 87 n 10

⑥ 18

№ 15 - 18930

1977

NH₃

12 Д120. Неэмпирическое исследование изменения геометрии при инверсии молекул NH₃, NH₂F, NHF₂, NF₃ и PH₃, PH₂F, PHF₂, PF₃. Schmidkampf Апп., Skaastrup Steen, Pülay Péter, Bogg's James E. Ab initio investigation of geometry changes during inversion of NH₃, NH₂F, NHF₂, NF₃ and PH₃, PH₂F, PHF₂, PF₃. «J. Chem. Phys.», 1977, 66, № 12, 5769—5776 (англ.)

Методом ССП МО ЛКАО в базисе сгруппированных лепестковых гауссовских ф-ций 7s4p (для Р), 5s3p (для N и F) и 3s (для H) исследовано электронное строение плоской и пирамидальной конформаций в ряду молекул XH₃, XH₂F, XHF₂ и XF₃ (X=N, P) и построены потенциальные кривые инверсии. Все расчеты проведены с полной оптимизацией геометрии. Найдено, что во всех молекулах в плоской конформации длины связей X—H и X—F меньше, чем в пирамидальной, а углы HXH, HXF и FXF почти равные в пирамидальной конформации, становятся различными в плоской, причем угол HXH > угла HXF и больше угла FXF. Добавление поляризационных d-ф-ций на атомах N и P приводит к

(+7)

9. 1977 N 12

укорочению связей X—F. Расчет *d*-вклада в связи X—H и X—F для обоих рядов показал, что в пирамидальной конформации он возрастает с увеличением числа атомов F в молекулах ряда. В плоской конформации *d*-вклад в связь X—H возрастает при переходе от молекулы XH₃ к XH₂F и уменьшается в молекуле XHF₂.

Найдено, что при увеличении орбитальной экспоненты *d*-АО длина связи X—H в молекуле XH₃ уменьшается, а углы HXH увеличиваются. Расчет потенциального барьера показал, что его величина не зависит от длины базиса и возрастает при замещении атома H на F. Возрастание барьера при замещении водорода фтором коррелирует с возрастанием *s*-характера неподеленной пары центрального атома. Анализ локализации орбиталей в зависимости от гибридизации показал, что отношение *s/p* для неподеленной пары центрального атома и для связей X—H и X—F в плоских конформациях возрастает при замещении водородов на фторы, а для связей в пирамидальной конформации остается постоянным. Подробно обсуждается поведение дипольных моментов, моментов связей и моментов неподеленных пар при инверсии в обоих рядах соединений.

В. А. Корсунов

1977

№ 18 - 18930

22 Б42. Неэмпирическое исследование изменений геометрии в процессе инверсии NH_3 , NH_2F , NHF_2 , NF_3 и PH_3 , PH_2F , PHF_2 , PF_3 . Schmidkamp Апп, Skaag ир Steen, Putay Peter, Boggs James E. Ab initio investigation of geometry changes during inversion of NH_3 , NH_2F , NHF_2 , NF_3 and PH_3 , PH_2F , PHF_2 , PF_3 . «J. Chem. Phys.», 1977, 66, № 12, 5769—5776 (англ.)

Неэмпирическим методом ССП МО ЛКАО в базисах Р [7s, 4p], N, F [5s, 3p], H [3s] (Б1) и в Б1, дополненном поляризац. функциями (ПФ) на атомах N и P, с полной оптимизацией геометрии, рассчитаны пирамидальная и плоская структуры NH_3 (I), NH_2F (II), NHF_2 (III), NF_3 (IV), PH_3 (V), PH_2F (VI), PHF_2 (VII) и PF_3 (VIII) (IV и VIII рассчитывали только в Б1). Расчет без ПФ занижает, а с ПФ завышает примерно на одну и ту же величину значение барьера инверсии (БИ) в I; 2,04 и 9,01 ккал/моль, соотв. (эксперимент 5,78). По сравнению с результатами в базисе с ПФ, значения БИ, рассчитанные в Б1, занижены в I—III на ~7 ккал/моль, в V—VII на ~10 ккал/моль. Накопление атомов F приводит к резкому увеличению БИ; с 2,04 ккал/моль в I до 67,20 ккал/моль в IV и с

26.08.1977

расчет

21.1977

№ 22

15

15

15

31,94 ккал/моль в V до 154,26 ккал/моль в VIII (расчет в Б1). Равновесные структуры II, III, VI, VII имеют почти одинаковые валентные углы у атомов N и P, плоские структуры существенно асимметричны, валентные углы убывают в порядке HXH>HXF>FXF, а длины связей N—F, N—H и P—H укорочены на 0,02—0,04 Å. Обсуждается влияние изменений экспоненты d-АО на значения энергий, длин связей и валентных углов. Рассчитанные дипольные моменты завышены в 1,3—2,3 раза по сравнению с эксперим. значениями.

В. Фаустов

омъ
етрии
(N—

1977

NH₃

22 Б289. Лазерная штарковская спектроскопия высокой чувствительности и высокой точности. Shimo-dai Koichi. Laser stark spectroscopy of high sensitivity and high accuracy. «3. Int. Tag., 28.3—1.4». 1977, Dresden. Laser und ihre Anwend.» S. I., s. a., 4—6 (англ.)

В лаб-рии Токийского ун-та построен лазерный штарковский спектрометр повышенной чувствительности и высокой точности измерения частот. Лазер способен генерировать любую из линий от P(56) до R(52) в полосе 10,6 мк, от P(56) до R(44) в полосе 9,4 мк CO₂ и от P(41) до P(2) и от R(2) до R(40) N₂O. Точность измерения спектральной частоты достигает ± 1 Мгц и соответствует относит. точности $\pm 3 \cdot 10^{-8}$, что на несколько порядков превосходит точность обычной ИК-спектроскопии. Чувствительность лазерного спектромет-

+6



29.1977 №22

ра составляет $3 \cdot 10^{-11}$ см $^{-1}$. На приборе записаны штарковские спектры $^{14}\text{NH}_3$, $^{15}\text{NH}_3$, $^{14}\text{NH}_2\text{D}$, $^{14}\text{NHD}_2$, AsH_3 , PH_3 , CH_3Br и OCS . Создан лазерный штарковский спектрометр в видимой области спектра с перестраиваемым лазером непрерывного действия на кристалле с областью перестройки около 400 ГГц и точностью частотных измерений $\pm 0,2$ ГГц. В процессе создания ИК-лазерный штарковский спектрометр с частотным разрешением 0,1 МГц и чувствительностью $1 \cdot 10^{-13}$ см $^{-1}$.

С. Н. Мурзин

пр
лов

NH₃

ommnick 5289

1977

Complexes
Edu. Noer -

Skaron S.A., et al.

J. Amer. Chem. Soc.
1977, 99, 52536

1977

MH3

86: 127581w Calculations of absolute values of equilibrium and rate constants. VII. Applicability of semiempirical methods in calculations of equilibrium constants of gas-phase chemical reactions. Slanina, Z.; Berak, P.; Zahradnik, R. (J. Heyrovsky Inst. Phys. Chem. Electrochem., Czech. Acad. Sci., Prague, Czech.). *Collect. Czech. Chem. Commun.*, 1977, 42(1), 1-15 (Eng). The applicability of the CNDO/2, INDO, and MNDO/2 methods for the evaluation of the rotational and vibrational contributions to equil. consts. was tested with 12 mols.: NH₃, HCHO, CH₄, MeOH, MeNH₂, MeCN, CH₂CH₂, CH₃CHO, ethylenimine, C₂H₆, CH₃CH:CH₂, and C₃H₈. A simple model reaction was used with the stoichiometric coeffs. equal to unity; the error in the logarithm of the equil. const. ($\log K$) introduced by the use of mol. parameters obtained from the semiempirical methods instead of expt. parameters was caled. The calens. were performed in the ideal gas, rigid rotator, and harmonic oscillator approxns. The error in $\log K$ is smaller than 0.5 at ≤ 2000 K. The MNDO/2 method failed with all compds. contg. σ -bonded O or pyramidal N. The CNDO/2 results are a little better than the INDO results. In spite of the poor quality of the caled. stretching modes, the values of vibrational partition functions are rather accurate. The reactions with no change in the no. of moles are esp. suited for semiempirical treatment.

E. Erdos

f 10

*C.A. 1977**86 w 18*

NH₃

[Ommeck 5371] 1944

Svendsen E. et al.

parereci
nucleus -
yellowish

Theor. chim acta, "1944,
45, N1, 53-59
(anal.)

(coll. N₂ : II)

NH₃

ommecik 5659 1974

Topiol S., Frost A.

Rb. ucr.
pacter

Theor. chim. acta

1974, 45, 177 - 183,

Recopying of V signs note 1977

NH₃

N₂H₃

NT₃

M19.

* 4 - 18254

(See. Kafar.)

86: 179659x Some molecular constants of Group V hydrides. Thirugnanasambandam, P.; Gnanasekaran, S. (Dep. Phys., Pres. Coll., Madras, India). Bull. Soc. Chim. Belg. 1977, 86(1-2), 11-15 (Eng). The Coriolis coupling consts. and the centrifugal distortion consts. relating to the hydrides and their isotopic analogs of Group V elements were studied with the help

of kinetic consts. The values of these mol. consts. are in good agreement with the obsd. values, showing the significance of the procedure adopted in the present study.

C.A. 1977, 86 N24

NH₃

NO₃

NT₃

K 43 - 18254

1977

19 Б280. Некоторые молекулярные константы гидридов V группы. Thirugnanasambandam P., Gnaniasekaran S. Some molecular constants of group V hydrides. «Bull. Soc. chim. belg.», 1977, 86, № 1—2, 11—15 (англ.)

Вычислены Кориолисовы постоянные и константы центробежного растяжения для соединений XY₃ (симметрия C₃Y), где X=N (P, As, Sb), Y=H, D, T. Приведены алгебраич. выражения для элементов матрицы, обратной матрице кинематич. коэф. в координатах симметрии (K), выражения для кориолисовых постоянных и ур-ния, связывающие ξ -постоянныес с элементами матрицы K в координатах симметрии C_{3v} для изученных молекул. Рассчитанные значения ξ -постоянных удовлетворяют правилу сумм и хорошо согласуются с экспериментальными, что свидетельствует о пригодности использованного способа расчета.

Е. Разумова

(+3)

☒

22.1977 N19

NH₃

1977

PH₃

AsH₃

Cited. No. 6.

S6: 130204f Parameter representation of harmonic force field: method of equal coordinates. Vallamattam; Annie J.; Joseph, K. Babu; Pillai, M. G. Krishna (Dep. Phys., Cochin Univ., Cochin, India). *Indian J. Pure Appl. Phys.*, 1977, 15(1), 49-51 (Eng). Harmonic force fields of NH₃, PH₃, and AsH₃ are detd. using the frequencies of 3 isotopic species in the parameter representation. In the absence of a unique intersection of parameter curves, a self evident principle, termed as the "principle of equal coordinates", is proposed and it is applied to the evaluation of the force fields. The equal coordinates criterion renders the parameter method a powerful calculational tool for the harmonic field force field; also, it may be invoked to test the reliability of exptl. data when more than 2 isotopic substituents are present.

(+2)



C.A. 1977. 86-N18

NH₃

Van Steaten et al.
1974

(ii)

J. Mol. Spectrosc.,
1974, 65 (2), 202-18.

(eas. PH₃; II)

NH₃

Оттиск 5637

1977

1 Б60. Потенциал для основного состояния аммиака. Varandas Antonio J. C., Muggell John N. Potential for the ground state of ammonia. «J. Chem. Soc. Faraday Trans», 1977, Part 2, 73, № 7, 939—942 (англ.)

1603000
97-4548

Получена аналитич. потенциальная функция для основного состояния молекулы аммиака, охватывающая область минимумов, барьера инверсии, а также области тех конфигураций, в к-рых атомы водорода не расходятся достаточно далеко. Выражение для потенциала, включающее в себя двух-, трех- и четырехчастичные члены, составлено на основе пространственных и спиновых корреляц. диаграмм так, что оно правильно описывает диссоциац. пределы. Для подбора параметров использована совокупность эксперим.

21.1978 141

данных и результатов неэмпирич. расчётов для след. систем: NH (в состояниях $^3\Sigma^-$ и $^1\Delta$), H₂($^3\Sigma_u^+$ и $^1\Sigma_g^+$), NH₂($^2A''$) и H₃($^4A'$ и $^2A'$). Показано, что без учета 4-частичного члена в целом достигается удовлетворительное описание поверхности потенциальной энергии, однако значение барьера инверсии получается примерно в два раза меньше эксперим. значения. С добавлением 4-частичного члена, параметры к-рого подбираются по эксперим. величинам энергии и угла между связями, значения барьера инверсии и длины связи NH улучшаются, но при этом ухудшаются значения силовых постоянных.

А. В. Немухин

1977

 NH_3

Ammonia 5637

isomers,
cyclics,
D₀

87: 141601e Potential for the ground state of ammonia.
Varandas, Antonia J. C.; Murrell, John N. (Sch. Mol. Sci., Univ. Sussex, Brighton, Engl.). *J. Chem. Soc., Faraday Trans.* 2 1977, 73(7), 939-42 (Eng). An anal. potential function in 6 variables is presented for the ground state of NH₃ which encompasses the regions of the min. and the inversion barrier, and any other region where the 3 H atoms are relatively close. The potential is dominated by the 2- and 3-body terms which were derived from the potential functions of the dissociation fragments. The calcd. bond length, bond angle, force consts., and dissoci. energy are compared with exptl. values.

C.A. 1977, 87, 118

1572

*NH₃**decksip.*
checkp.

86: 148211r Experimental Auger electron spectrum of ammonia. White, J. M.; Rye, R. R.; Houston, J. E. (Sandia Lab., Albuquerque, N. Mex.). *Chem. Phys. Lett.* 1977, 46(1), 146-50 (Eng). The 1st electron excited Auger electron spectrum for gas-phase NH₃ was obtained and is compared with an existing theor. prediction. The decompn. of the spectrum with a Gaussian approxn. reveals close agreement in both intensity and energy for the higher energy components provided the theor. data is shifted toward lower energies by \approx 2.7 eV. As the transitions involve progressively deeper final state levels, there is a general trend of increasing widths and increasing discrepancy towards lower energy with respect to their predicted positions. Such behavior has been seen in other exptl.-theor. comparisons for gas-phase Auger results and while the variation in widths is interpreted in terms of transitions to a manifold of final state variataion levels, the nature of the differential shift in the lower energy components is unclear.

C.A. 1977, 86(1)

NH₃

1977

8 Д514. Угловое разрешение и исследование изотопов для инверсной релаксации в NH₃. Williams J. R., Wukolich S. G. *Angular resolution and isotope studies for inversion relaxation in NH₃.* «J. Chem. Phys.», 1977, 66, № 1, 251—255 (англ.)

Пучковый мазерный спектрометр использован для измерения эффективных сечений (ЭС) чистых состояний σ_1 , перекрывающихся состояний σ_{II} и общего ослабления пучка $\sigma_{общ}$. Исследовано влияние углового разрешения на σ_1 и σ_{II} для NH₃—NH₃-рассеяния $J=3$,

K=2 молекул пучка. При изменении углового разрешения от 1,5° до 0,2° ЭС менялись незначительно. Проведены измерения σ_1 , σ_{II} , и $\sigma_{общ}$ для NH₃, ND₃, HCl, H₂O рассеивающих газов. Т-ра рассеивающего газа 300±3° К. Наибольший вклад в ошибки вносило изме-

*лебат
рат*

Ф. 1977. № 8

рение давления в рассеивающем объеме. Содержание ND_3 в рассеивающей камере 90%. Оказалось, что большое изменение в инверсной частоте и вращательной постоянной от NH_3 к ND_3 не имеет существенного влияния на ЭС, которые для NH_3-NH_3 - и NH_3-ND_3 -рассеяния совпадают в пределах эксперим. ошибок. Обсуждается относит. независимость ЭС пучка мазера от углового разрешения. Отмечается, что на ЭС влияют эффекты малоуглового диполь-дипольного рассеяния, которое является неупругим по отношению к инверсным уровням, в результате чего ЭС мазера очень близки к истинным общим ЭС. Вычисленные коррекции углового разрешения для получения 95% от истинного значения ЭС составляют $0,23^\circ$ для диполь-дипольного рассеяния с потенциалом $1/r^6$ и $0,04^\circ$ для резонансного диполь-дипольного рассеяния первого порядка с потенциалом $1/r^3$. Проводится сравнение между σ_1 и σ_{11} и микроволни. данными времен релаксации T_1 и T_2 , полученными с помощью газовых волноводов. Полагается, что оба метода дадут хорошее соответствие для малоуглового рассеяния.

В. В. Строгонов

NH₃

1977

хим.
свиде ния
поверхн
ть. мы

д. 1977
N 19

19 Б245. Обобщение данных спектроскопических исследований, объемного образования комплексов и на поверхности твердых тел, в частности окисей. Winde Harald, Fink Peter, Köhler Adelhard. Gemeinsamkeiten bei der Komplexbildung in der Volumenphase und an Festkörperoberflächen, insbesondere von Oxiden anhand spektroskopischer Ergebnisse. «Z. Chem.», 1977, 17, № 2, 41—53 (нем.)

На основании исследований электронных и колебательных спектров проведено сравнение данных для объемных (I) и поверхностных (II) комплексов и показана общность и аналогия их спектроскопич. св-в, что обусловлено одинаковым характером хим. связи. На примерах кетонов, интрилов, аммиака, пиридина, олефинов и ароматич. соединений рассмотрено образование Н-мостиков и электронное донорно-акцепторное взаимодействие. Отличия между I и II обусловлены, в основном, геометрией и энергетикой (гетерогенность распределения центров в случае II). Библ. 170.

М. Дейчмайстер

NH₃

smmucu 5661

1977

Zahradník P.

Leska J.

pabwob.

recueip. Coll. Czech. Chem.
Comm., 1977, 42,

2060 - 65

(cyc. CH₂; --)

NH₃

1947

Zybel B. E. u. sp.

"Int. Tag., 28.3.-1.4. 1947,
Dresden. Laser und ihre
Anwend." S. 1, S. a., 448-449

III.

(ca. H₂O; 11)